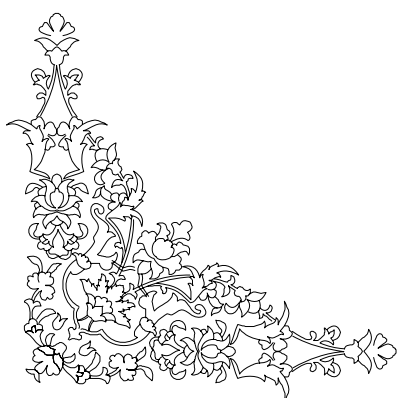


بِسْمِ اللَّهِ الرَّحْمَنِ الرَّحِيمِ

شکر خدای را که ز فضل خدای  
گشت مریز چون بهشت این سرای





دانشکده مهندسی مکانیک

بررسی ارتعاشات ورق میندلین مستطیلی تحت تنش صفحه‌ای  
و واقع بر فونداسیون پسترناک با استفاده از روش ریلی ریتز

پایان‌نامه کارشناسی ارشد  
در رشته  
مهندسی مکانیک-طراحی کاربردی

یاسر میرزایی

استاد راهنما: دکتر شاهرخ حسینی هاشمی

شهریور ۸۵

## چکیده:

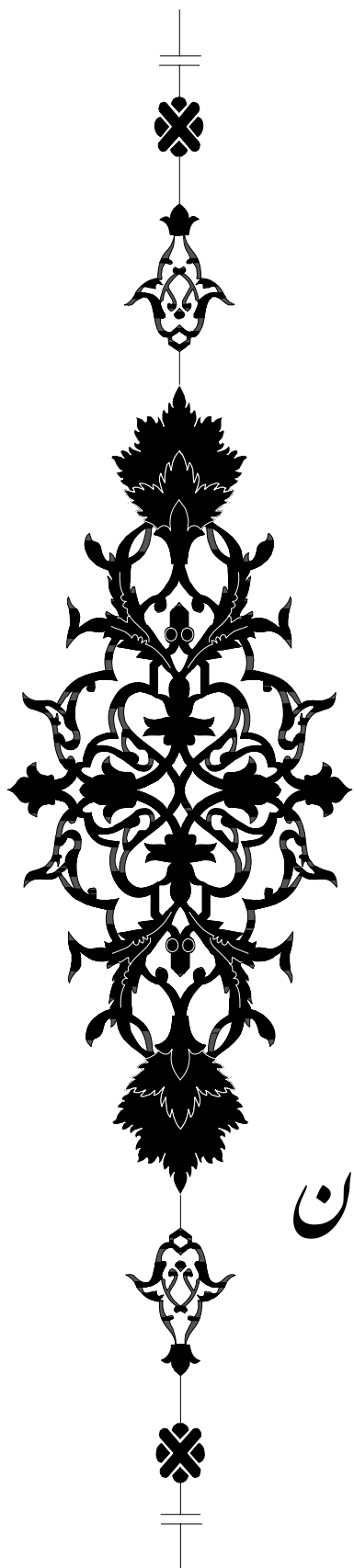
ورقهای مستطیلی کاربرد وسیعی در سازه های مختلف مکانیکی ، فضایی ، دریایی ، هسته ای و در صنایع عمران دارند. از آنجائیکه درموارد مختلفی این ورقها متحمل بارهای دینامیکی می شوند ، بررسی ارتعاشات آزاد آنها اجتناب ناپذیر می باشد و در هر مسئله ارتعاشی قبل از هر چیز بدست آوردن فرکانس های طبیعی سازه و شکل حالت های ارتعاشی و نیروی کمانش در اولویت قرار دارد.

ورقی که در این پروژه مورد بررسی قرار میگیرد ، ورق میندیلین مستطیلی تحت تنش صفحه ای تک محوری یا دو محوری و واقع بر فونداسیون پسترناک می باشد. با استفاده از ترکیب شرایط مرزی مختلف ، برای ورق مستطیلی ۲۱ شرط مرزی متفاوت وجود دارد. هدف اصلی در این پروژه بدست آوردن فرکانس های طبیعی بی بعد شده و شکل حالت های ارتعاشی و نیروی کمانش بی بعد شده و شکل مد کمانش برای ورق مذکور تحت شرایط مرزی مختلف است. تئوری مورد استفاده تئوری میندیلین می باشد و روش حل نیز ، روش ریلی ریتز است. برای این کار با تکیه بر تئوری میندیلین انرژی جنبشی و انرژی کرنشی و انرژی پتانسیل ناشی از فونداسیون و تنش صفحه ای محاسبه شده و برای نشان دادن درستی روابط ، با استفاده از روش همیلتون معادلات حاکم بر شرایط استاتیکی ورق استخراج شده و با روابطی که با استفاده از دیا گرام آزاد و تعادل بر ورق بدست آمده مقایسه شده است که پس از اطمینان ، از درستی روابط ، با استفاده از روش ریلی ریتز برای ورقهای میندیلین فرکانس های طبیعی بی بعد شده و نیروی کمانش بی بعد شده برای شرایط مرزی مختلف بدست آورده شده است.

تقدیم بہ

پدر عزیز و مادر مہربانم

بہ پاس قدر دانی از رحمت بی دریغ ایشان



## با تشکر و قدردانی فراوان از :

خداوند که به من وجود داد ، تا بتوانم زندگی کنم .

استاد بزرگ زندگی ام ، پدر بزرگوارم و یکتا مأمَن هستیم ، مادر عزیزم .

استاد گرامیم جناب آقای دکتر شاهرخ حسینی هاشمی و جناب آقای دکتر

کوروش خورشیدی ، که در تمامی مراحل انجام پایان نامه با عشق و علاقه فراوان مرا

راهنمایی فرمودند و همواره بنده را مرهون لطف والای خویش قرار دادند .

و تمامی دوستانی که کمک های فراوانی به من ارزانی داشتند .

## فهرست

---

صفحه	عنوان
	<b>فصل اول : مقدمه</b>
2	1-1 مقدمه
2	1-2 مطالعات انجام شده در زمینه ورق مستطیلی
	<b>فصل دوم : معادلات انرژی جنبشی و پتانسیل ورق تحت نیروی صفحه‌ای و روی فونداسیون پسترناک</b>
10	2-1 مقدمه
10	2-2 تئوری میندلین
14	2-3 بدست آوردن انرژی جنبشی
15	2-4 فرمولاسیون انرژی پتانسیل (کرنشی)
17	2-5 فرمولاسیون اثر تنش صفحه ای
19	2-6 فرمولاسیون اثر فونداسیون
20	2-7 پی بعد سازی روابط بدست آمده
22	2-8 بدست آوردن معادله حاکم بر شرایط استاتیکی ورق
23	<b>فصل سوم : استفاده از روش ریلی ریتز در ورق مستطیلی میندلین</b>
30	3-1 مقدمه ای راجع به روش ریلی ریتز
36	3-2 استفاده از روش ریلی ریتز برای ارتعاشات ورقهای میندلین مستطیلی
	<b>فصل چهارم : کمانش</b>
45	4-1 مقدمه
45	4-2 مقادیر نیروی کمانش
50	4-3 بررسی همگرایی مقادیر نیروی کمانش
52	4-4 بحث و بررسی نتایج بدست آمده
74	4-5 تغییرات نیروی کمانش بر حسب نسبت اضلاع
75	4-6 تغییرات نیروی کمانش بر حسب $K_1$

79	4-7 تغییرات نیروی کمانش بر حسب $\delta$
	فصل پنجم : فرکانس طبیعی
84	1-5 بررسی همگرایی مقادیر فرکانس طبیعی
85	2-5 مقادیر فرکانس طبیعی
106	3-5 تغییرات فرکانس طبیعی بر حسب نسبت اضلاع
109	4-5 تغییرات فرکانس طبیعی بر حسب $K_1$
112	5-5 تغییرات فرکانس طبیعی بر حسب $K_2$
114	6-5 تغییرات فرکانس طبیعی بر حسب $\delta$
116	مراجع

## فهرست اشکال و نمودارها

---

صفحه	عنوان
۱۰	شکل (۲-۲-۱): ورق ایزوتروپیک ضخیم
۱۱	شکل (۲-۲-۲): سطح مقطع ورق ضخیم در صفحه y-z
۱۴	شکل (۲-۳-۱): ورق ایزوتروپیک ضخیم
۱۷	شکل (۲-۵-۱): ورق ایزوتروپیک ضخیم
۱۷	شکل (۲-۵-۲): المان ورق ایزوتروپیک ضخیم بعد از تغییر شکل
۳۷	شکل (۳-۲-۱) : سطح مقطع ورق fscs
۳۸	شکل (۳-۲-۲) : ورق sssc
۳۸	شکل (۳-۲-۳) : ورق sfss
۳۹	شکل (۳-۲-۴) : ورق sfsf
۳۹	شکل (۳-۲-۵) : ورق ssss
۳۹	شکل (۳-۲-۶) : ورق scsc
۳۹	شکل (۳-۲-۷) : ورق sfff
۳۹	شکل (۳-۲-۸) : ورق cccf
۴۰	شکل (۳-۲-۹) : ورق ccsf
۴۰	شکل (۳-۲-۱۰) : ورق cfcf
۴۰	شکل (۳-۲-۱۱) : ورق cscf
۴۰	شکل (۳-۲-۱۲) : ورق cfff
۴۰	شکل (۳-۲-۱۳) : ورق cfsf
۵۰	شکل (۳-۲-۱۴) : ورق sfcs
۵۰	شکل (۳-۲-۱۵) : ورق cccc
۵۰	شکل (۳-۲-۱۶) : ورق cccs
۵۰	شکل (۳-۲-۱۷) : ورق ccff



۵۰	شکل (۳-۲-۱۸): ورق ccss
۵۱	شکل (۳-۲-۱۹): ورق csff
۵۱	شکل (۳-۲-۲۰): ورق ffff
۵۱	شکل (۳-۲-۲۱): ورق sfff
۵۳	جدول (۴-۴-۱): شکل مد کمانش برای ورق مربعی میندیلین S-C-S-C و بدون فونداسیون و $0.2 =$
۵۴	جدول (۴-۴-۲): شکل مد کمانش برای ورق مربعی میندیلین S-C-S-S و بدون فونداسیون و $0.2 =$
۵۵	جدول (۴-۴-۳): شکل مد کمانش برای ورق مربعی میندیلین S-F-S-F و بدون فونداسیون و $0.2 =$
۵۶	جدول (۴-۴-۴): شکل مد کمانش برای ورق مربعی میندیلین S-S-S-F و بدون فونداسیون و $0.2 =$
۵۷	جدول (۴-۴-۵): شکل مد کمانش برای ورق مربعی میندیلین S-S-S-S و بدون فونداسیون و $0.2 =$
۵۸	جدول (۴-۴-۶): شکل مد کمانش برای ورق مربعی میندیلین S-F-S-C و بدون فونداسیون و $0.2 =$
۵۹	جدول (۴-۴-۷): شکل مد کمانش برای ورق مربعی میندیلین C-F-C-C و بدون فونداسیون و $0.2 =$
۶۰	جدول (۴-۴-۸): شکل مد کمانش برای ورق مربعی میندیلین C-C-S-F و بدون فونداسیون و $0.2 =$
۶۱	جدول (۴-۴-۹): شکل مد کمانش برای ورق مربعی میندیلین C-F-C-F و بدون فونداسیون و $0.2 =$
۶۲	جدول (۴-۴-۱۰): شکل مد کمانش برای ورق مربعی میندیلین C-S-C-F و بدون فونداسیون و $0.2 =$
۶۳	جدول (۴-۴-۱۱): شکل مد کمانش برای ورق مربعی میندیلین C-F-F-F و بدون فونداسیون و $0.2 =$
۶۴	جدول (۴-۴-۱۲): شکل مد کمانش برای ورق مربعی میندیلین C-F-S-F و بدون فونداسیون و $0.2 =$
۶۵	جدول (۴-۴-۱۳): شکل مد کمانش برای ورق مربعی میندیلین S-F-C-S و بدون فونداسیون و $0.2 =$
۶۶	جدول (۴-۴-۱۴): شکل مد کمانش برای ورق مربعی میندیلین S-F-F-F و بدون فونداسیون و $0.2 =$
۶۷	جدول (۴-۴-۱۵): شکل مد کمانش برای ورق مربعی میندیلین C-C-C-C و بدون فونداسیون و $0.2 =$
۶۸	جدول (۴-۴-۱۶): شکل مد کمانش برای ورق مربعی میندیلین C-C-C-S و بدون فونداسیون و $0.2 =$
۶۹	جدول (۴-۴-۱۷): شکل مد کمانش برای ورق مربعی میندیلین C-C-F-F و بدون فونداسیون و $0.2 =$
۷۰	جدول (۴-۴-۱۸): شکل مد کمانش برای ورق مربعی میندیلین C-C-S-S و بدون فونداسیون و $0.2 =$
۷۱	جدول (۴-۴-۱۹): شکل مد کمانش برای ورق مربعی میندیلین C-S-F-F و بدون فونداسیون و $0.2 =$
۷۲	جدول (۴-۴-۲۰): شکل مد کمانش برای ورق مربعی میندیلین F-F-F-F و بدون فونداسیون و $0.2 =$
۷۳	جدول (۴-۴-۲۱): شکل مد کمانش برای ورق مربعی میندیلین S-S-F-F و بدون فونداسیون و $0.2 =$
۷۴	نمودار (۴-۵-۱): نمودار تغییرات نیروی کمانش بر حسب $\eta$

- ۷۵ نمودار(۴-۶-۱): نمودار تغییرات نیروی کماتش بر حسب  $K_1$  برای  $\xi_1 = 0, \xi_2 = -1$
- ۷۶ نمودار(۴-۶-۲): نمودار تغییرات نیروی کماتش بر حسب  $K_1$  برای  $\xi_1 = -1, \xi_2 = 0$
- ۷۶ نمودار(۴-۶-۳): نمودار تغییرات نیروی کماتش بر حسب  $K_1$  برای  $\xi_1 = -1, \xi_2 = -1$
- ۷۹ نمودار(۴-۷-۱): نمودار تغییرات نیروی کماتش بر حسب  $K_2$  برای  $\xi_1 = -1, \xi_2 = 0$
- ۷۹ نمودار(۴-۷-۲): نمودار تغییرات نیروی کماتش بر حسب  $K_2$  برای  $\xi_1 = 0, \xi_2 = -1$
- ۸۰ نمودار(۴-۷-۳): نمودار تغییرات نیروی کماتش بر حسب  $K_2$  برای  $\xi_1 = -1, \xi_2 = -1$
- ۸۰ نمودار(۴-۸-۱): نمودار تغییرات نیروی کماتش بر حسب  $\delta$  برای  $\xi_1 = -1, \xi_2 = 0$
- ۸۱ نمودار(۴-۸-۲): نمودار تغییرات نیروی کماتش بر حسب  $\delta$  برای  $\xi_1 = 0, \xi_2 = -1$
- ۸۱ نمودار(۴-۸-۳): نمودار تغییرات نیروی کماتش بر حسب  $\delta$  برای  $\xi_1 = -1, \xi_2 = 0$
- ۹۶ جدول(۵-۳-۱۰): شکل مد ارتعاشی برای ورق مربعی میندلین S-C-S-C و بدون فونداسیون
- ۹۶ جدول(۵-۳-۱۱): شکل مد ارتعاشی برای ورق مربعی میندلین S-C-S-S و بدون فونداسیون
- ۹۷ جدول(۵-۳-۱۲): شکل مد ارتعاشی برای ورق مربعی میندلین S-F-S-F و بدون فونداسیون
- ۹۷ جدول(۵-۳-۱۳): شکل مد ارتعاشی برای ورق مربعی میندلین S-S-S-F و بدون فونداسیون
- ۹۸ جدول(۵-۳-۱۴): شکل مد ارتعاشی برای ورق مربعی میندلین S-S-S-S و بدون فونداسیون
- ۹۸ جدول(۵-۳-۱۵): شکل مد ارتعاشی برای ورق مربعی میندلین S-F-S-C و بدون فونداسیون
- ۹۹ جدول(۵-۳-۱۶): شکل مد ارتعاشی برای ورق مربعی میندلین C-F-C-C و بدون فونداسیون
- ۹۹ جدول(۵-۳-۱۷): شکل مد ارتعاشی برای ورق مربعی میندلین C-C-S-F و بدون فونداسیون
- ۱۰۰ جدول(۵-۳-۱۸): شکل مد ارتعاشی برای ورق مربعی میندلین C-F-C-F و بدون فونداسیون
- ۱۰۰ جدول(۵-۳-۱۹): شکل مد ارتعاشی برای ورق مربعی میندلین C-S-C-F و بدون فونداسیون
- ۱۰۱ جدول(۵-۳-۲۰): شکل مد ارتعاشی برای ورق مربعی میندلین C-F-F-F و بدون فونداسیون
- ۱۰۱ جدول(۵-۳-۲۱): شکل مد ارتعاشی برای ورق مربعی میندلین C-F-S-F و بدون فونداسیون
- ۱۰۲ جدول(۵-۳-۲۲): شکل مد ارتعاشی برای ورق مربعی میندلین S-F-C-S و بدون فونداسیون
- ۱۰۲ جدول(۵-۳-۲۳): شکل مد ارتعاشی برای ورق مربعی میندلین S-F-F-F و بدون فونداسیون
- ۱۰۳ جدول(۵-۳-۲۴): شکل مد ارتعاشی برای ورق مربعی میندلین C-C-C-C و بدون فونداسیون
- ۱۰۳ جدول(۵-۳-۲۵): شکل مد ارتعاشی برای ورق مربعی میندلین C-C-C-S و بدون فونداسیون
- ۱۰۴ جدول(۵-۳-۲۶): شکل مد ارتعاشی برای ورق مربعی میندلین C-C-F-F و بدون فونداسیون

- ۱۰۴ جدول (۵-۳-۲۷): شکل مد ارتعاشی برای ورق مربعی میندلین C-C-S-S و بدون فونداسیون
- ۱۰۵ جدول (۴-۴-۲۸): شکل مد ارتعاشی برای ورق مربعی میندلین C-S-F-F و بدون فونداسیون
- ۱۰۵ جدول (۵-۳-۲۹): شکل مد ارتعاشی برای ورق مربعی میندلین F-F-F-F و بدون فونداسیون
- ۱۰۶ جدول (۵-۳-۳۰): شکل مد ارتعاشی برای ورق مربعی میندلین S-S-F-F و بدون فونداسیون
- ۱۰۷ نمودار (۵-۴-۱): نمودار تغییرات فرکانس طبیعی اول بر حسب  $\eta$
- ۱۰۷ نمودار (۵-۴-۲): نمودار تغییرات فرکانس طبیعی دوم بر حسب  $\eta$
- ۱۰۸ نمودار (۵-۴-۳): نمودار تغییرات فرکانس طبیعی سوم بر حسب  $\eta$
- ۱۰۸ نمودار (۵-۴-۴): نمودار تغییرات فرکانس طبیعی چهارم بر حسب  $\eta$
- ۱۰۸ نمودار (۵-۴-۵): نمودار تغییرات فرکانس طبیعی پنجم بر حسب  $\eta$
- ۱۰۹ نمودار (۵-۴-۶): نمودار تغییرات فرکانس طبیعی ششم بر حسب  $\eta$
- ۱۰۹ نمودار (۵-۵-۱): نمودار تغییرات فرکانس طبیعی اول بر حسب  $K_1$
- ۱۱۰ نمودار (۵-۵-۲): نمودار تغییرات فرکانس طبیعی دوم بر حسب  $K_1$
- ۱۱۰ نمودار (۵-۵-۳): نمودار تغییرات فرکانس طبیعی سوم بر حسب  $K_1$
- ۱۱۱ نمودار (۵-۵-۴): نمودار تغییرات فرکانس طبیعی چهارم بر حسب  $K_1$
- ۱۱۱ نمودار (۵-۵-۵): نمودار تغییرات فرکانس طبیعی پنجم بر حسب  $K_1$
- ۱۱۱ نمودار (۵-۵-۶): نمودار تغییرات فرکانس طبیعی ششم بر حسب  $K_1$
- ۱۱۲ نمودار (۵-۶-۱): نمودار تغییرات فرکانس طبیعی اول بر حسب  $K_2$
- ۱۱۲ نمودار (۵-۶-۲): نمودار تغییرات فرکانس طبیعی دوم بر حسب  $K_2$
- ۱۱۳ نمودار (۵-۶-۳): نمودار تغییرات فرکانس طبیعی سوم بر حسب  $K_2$
- ۱۱۳ نمودار (۵-۶-۴): نمودار تغییرات فرکانس طبیعی چهارم بر حسب  $K_2$
- ۱۱۳ نمودار (۵-۶-۵): نمودار تغییرات فرکانس طبیعی پنجم بر حسب  $K_2$
- ۱۱۴ نمودار (۵-۶-۶): نمودار تغییرات فرکانس طبیعی ششم بر حسب  $K_2$
- ۱۱۴ نمودار (۵-۷-۱): نمودار تغییرات فرکانس طبیعی اول بر حسب  $\delta$
- ۱۱۵ نمودار (۵-۷-۲): نمودار تغییرات فرکانس طبیعی دوم بر حسب  $\delta$
- ۱۱۵ نمودار (۵-۷-۳): نمودار تغییرات فرکانس طبیعی سوم بر حسب  $\delta$

## فهرست جداول

صفحه	عنوان
46	جدول (1-2-4): نیروی کمانش بی بعد شده برای ورق میندیلین مستطیلی S-S-S-S
47	جدول (2-2-4): نیروی کمانش بی بعد شده برای ورق میندیلین مستطیلی S-S-S-S واقع بر فونداسیون پسترناک
48	جدول (3-2-4): نیروی کمانش بی بعد شده برای ورق میندیلین مستطیلی S-S-S-S واقع بر فونداسیون پسترناک
49	جدول (4-2-4): نیروی کمانش بی بعد شده برای ورق میندیلین مستطیلی S-S-S-S واقع بر فونداسیون پسترناک
51	جدول (1-3-4): نحوه همگرایی نیروی کمانش برای شرایط مرزی چهار طرف گیردار
84	جدول (1-1-5): نحوه همگرایی فرکانس های طبیعی برای شرایط مرزی چهار طرف گیردار
87	جدول (1-2-5): شش فرکانس طبیعی بی بعد شده اول برای ورق میندیلین مربعی، تحت تنش صفحه ای تک محوری یا دو محوری
88	جدول (2-2-5): شش فرکانس طبیعی بی بعد شده اول برای ورق میندیلین مربعی، تحت تنش صفحه ای تک محوری یا دو محوری
89	جدول (3-2-5): شش فرکانس طبیعی بی بعد شده اول برای ورق میندیلین مربعی، تحت تنش صفحه ای تک محوری یا دو محوری
90	جدول (4-2-5): شش فرکانس طبیعی اول بی بعد شده برای ورق میندیلین مربعی S-S-S-S واقع بر فونداسیون پسترناک، تحت تنش تک محوری یا دو محوری
91	جدول (5-2-5): شش فرکانس طبیعی اول بی بعد شده برای ورق میندیلین مربعی S-S-S-S واقع بر فونداسیون پسترناک، تحت تنش تک محوری یا دو محوری
92	جدول (6-2-5): شش فرکانس طبیعی اول بی بعد شده برای ورق میندیلین مربعی S-S-S-S واقع بر فونداسیون پسترناک، تحت تنش تک محوری یا دو محوری
93	جدول (7-2-5): شش فرکانس طبیعی اول بی بعد شده برای ورق میندیلین مربعی S-S-S-S واقع بر

فونداسیون پسترناک، تحت تنش تک محوری یا دو محوری

94 جدول (5-2-8) : شش فرکانس طبیعی اول بی بعد شده برای ورق میندلین مربعی S-S-S-S واقع بر

فونداسیون پسترناک، تحت تنش تک محوری یا دو محوری

95 جدول (5-2-9) : شش فرکانس طبیعی اول بی بعد شده برای ورق میندلین مربعی S-S-S-S واقع بر

فونداسیون پسترناک، تحت تنش تک محوری یا دو محوری

## فصل اول

### مقدمه

## ۱-۱ مقدمه :

ورقهای مستطیلی کاربرد وسیعی در سازه های مختلف مکانیکی ، فضایی ، دریایی ، هسته ای و در صنایع عمران دارند. از آنجائیکه در موارد مختلفی این ورقها متحمل بارهای دینامیکی می شوند ، بررسی ارتعاشات آزاد آنها اجتناب ناپذیر می باشد و مطالعه در زمینه ارتعاشات این ورقها باعث بهینه کردن طراحی و کاهش هزینه های اقتصادی در پروژه ها می شود و دسترسی به بازدهی بیشتر را میسر می نماید ، به لحاظ کاربردی شناخت و آنالیز ارتعاشات ورق ، همچنین آشنایی با مشخصات ارتعاشی سازه برای کاهش عکس العمل ارتعاشی و پیدا کردن یک تنش بهینه در هنگامی که سازه تحت یک نیروی دینامیکی مثل حرکات ناشی از ترافیک ماشینها ، نیروهای آیرودینامیکی و غیره قرار دارد ، لازم است.

یکی از پر کاربردترین اشکال ورق ، ورق ضخیم مستطیلی است و با توجه به اینکه در هر مسئله ارتعاشی قبل از هر چیز بدست آوردن فرکانسهای طبیعی سازه و شکل حالت های ارتعاشی و نیروی کمانش در اولویت قرار دارد هدف اصلی در این پروژه بدست آوردن فرکانسهای طبیعی سازه و شکل حالت های ارتعاشی و نیروی کمانش برای شرایط مرزی مختلف و نسبت های متفاوت است.

## ۱-۲ مطالعات انجام شده در زمینه ورق مستطیلی:

مطالعه ارتعاش آزاد ورق به سال ۱۸۰۰ میلادی بر میگردد. در سال ۱۸۰۲ کلدنی [1] (Chladini) ارتعاشات آزاد ورق مربعی با لبه های آزاد را مورد مطالعه قرار داد و الگوهای مدی ورق را مشاهده نمود. در سال 1872 ریلی (Rayleigh) [2] یک روش کلی برای بدست آوردن فرکانسهای طبیعی در ساختارهای متفاوت ارائه نمود.

در سال 1909 ریتز (Ritz) [3] روش ریلی را ، با انتخاب ضرایبی از یک دسته توابع شکل قابل قبول ، بهبود بخشید ، این روش به عنوان روش ریلی-ریتز یا روش ریتز شناخته می شود و یکی از محبوبترین روشهای شناخته شده تقریبی برای آنالیز ارتعاشی ساختارهای متفاوت است. بررسی های زیادی در مورد ارتعاشات ورق با شکل ، مرز و بارگذاری های متفاوت انجام شده است و در متن های استاندارد می همچون

مراجع [4,5] وهمچنین مراجع [6-8] و مقالات [9-11] گزارش شده است. در بسیاری از کارهای صورت گرفته اثر تغییر شکل برشی نادیده انگاشته شده ، که می توان از آنها به مرور لیس (Leissa) [12-17] ، مرور برت (Bert) [18-23] در مورد ورقهای ساندویچی و کامپوزیتی و مقالات مرروی دیگری مثل [24,25] اشاره کرد.

اثر برشی برای ورقهای ضخیم بسیار مهم است. اگر اثر برشی نادیده انگاشته شود حل بدست آمده از دقت خوبی برخوردار نیست. از اینرو تحقیقات بسیاری در زمینه وارد کردن اثر برشی در ورق انجام شده است و به همین علت تئوریهای مختلفی در این زمینه بوجود آمده است که از این دسته می توان به تئوریهای زیر اشاره کرد:

تئوری مرتبه اول میندلین و رزینر (Mindlin-Reissner) [26,28].

تئوری میندلین اصلاح شده بوسیله : برگن و وانگ (Wang-Bergan) [29] ، یانگ (Yang) [30] ، ویتنی و پاگانو (Pagano-Whitney) [31].

تئوری مرتبه بالاتر بوسیله نلسون و لورچ (Nelson Lorch) [32] ، لو (Lo) [33] ، لوینسون (Levinson) [34] ، مورثی (Murthy) [35] ، ردی (Reddy) [36] ، سنثیلناتان (Senthilnathan) [37] و دونگ (Doong) [38].

در آنالیز ارتعاشی ورق نسبتاً ضخیم ایزوتروپیک ، تئوری مرتبه اول میندلین-رزینر مناسب می باشد. اگرچه در این تئوری توزیع تنش برشی در ضخامت ورق ثابت فرض شده است اما می توان با انتخاب فاکتور اصلاحی  $K$  ، دقت مناسبی از حل را بدست آوریم به این فاکتور اصلاحی مدول برشی نیز گفته می شود که بوسیله (Rao ، Serinivas) [27] و دیگران توضیح داده شده است. معمولاً فاکتور برشی را  $k = \frac{5}{6}$  انتخاب می کنند (که بوسیله ریتز [۲۸] بدست آورده شده است) ، همچنین فاکتور برش را می توانیم  $k = \frac{\pi^2}{12}$  انتخاب کنیم (که بوسیله میندلین [26] بدست آورده شده است) و همچنین می توانیم اثر برشی را با توجه به رابطه  $k = 20(1+\nu)(24 + 25\nu + \nu^2)$  بر حسب  $\nu$  بیان کنیم.



ما باید بدانیم هنگامی که از ورق اورتروپیک یا کامپوزیتی استفاده می‌کنیم باید از تئوریهای کرنش برشی مرتبه بالا به جای کرنش برشی مرتبه اول استفاده کنیم تا بتوانیم رفتار این ورقها را بدرستی توضیح دهیم. اخیراً مطالعات بسیار خوبی در این زمینه توسط بورثن (Burton) [39] انجام شده است. در بررسی ارتعاش آزاد ورق کامپوزیتی بدست آمده که اگر از یک فاکتو برشی مناسب استفاده شود آنگاه تئوری مرتبه اول میندلین نتایج قابل قبولی بدست می‌دهد.

در این قسمت مروری فهرستوار در مورد کارهای انجام شده بر روی ورق مستطیلی میندلین انجام می‌دهیم.

میندلین (Mindlin) [40] ارتعاشات ورق مستطیلی میندلین با شرایط مرزی چهار طرف ساده و همچنین شرایط مرزی دو ضلع مقابل ساده و دو ضلع مقابل دیگر آزاد را مورد بررسی قرار داد و حلی تحلیلی برای ورق مورد نظر بدست آورد. همچنین شکل مدهای ممکن برای یک ورق چهار لبه ساده را بدست آورد و کوپلینگ بین مدی برای sfsf را مورد مطالعه قرار داد.

ویتنی و پاگانو (Pagano ، Whitney) [31] ، تئوری میندلینی را که یانگ (Yang) [30] برای ورقهای لایه ای پیشنهاد کرده بود ، اندکی اصلاح کردند و خمش و ارتعاش ورق لایه ای ایزوتروپیک را بررسی کردند و حل تحلیلی بسته ای برای محاسبه فرکانس ارتعاشی ورق مستطیلی لایه ای وایزومتريک با شرایط مرزی چهار طرف ساده بدست آوردند و نتایج عددی برای فرکانسهای اصلی یک ورق مربعی چهار لایه ای نامتقارن را ارائه کردند.

سرینواس (Srinivas) [27] از تئوری دقیق سه بعدی ورق برای مطالعه ورق مستطیلی ضخیم لایه ای با شرایط مرزی چهار طرف ساده استفاده کرد و کارهای مهمی در این مقاله همچون نتایج آن صورت گرفت و این نتایج در بسیاری از تحقیقات به عنوان مرجع استفاده شده است.

چنگ و چاکرابارتی (Chakrabarti ، Cheung) [41] ، آنالیز ارتعاش آزاد یک ورق مستطیلی ضخیم و لایه ای را با روش المان لایه ای انجام دادند.

نور (Noor) [42] ، بررسی‌هایی درباره ورق‌های کامپوزیتی چند لایه انجام داد. او نتایج تئوری میندلین و تئوری الاستیک سه بعدی را با هم مقایسه کرد ، نتایج حاصله نشان داد تئوری کلاسیک ورق نمی‌تواند رفتار ارتعاش آزاد ورق کامپوزیتی اورتروپیک با نسبت ضخامت بیشتر از 0.1 را توضیح دهد ، در حالی که تئوری میندلین فرکانس‌های پایین یک ورق با نسبت ضخامت کمتر از 0.2 را با دقت قابل قبولی مشخص می‌کند.

برانل و رابرتسون (Robertson ، Brunelle) [43] مسأله ارتعاشی ورق میندلین را تحت تنش اولیه مورد مطالعه قرار دادند. آنها با استفاده از روش تغییر شکل جزئی و روش حساب تغییرات (که اصل همیلتون را در بردارد) معادلات غیرخطی حرکت را بدست آوردند ، سپس ورق مستطیلی با شرایط مرزی چهار لبه ساده را در نظر گرفتند که تحت تنش اولیه ای ناشی از خمش یکنواخت و کشش یکنواخت قرار دارد و هر دو منتهی به تنش در یک جهت عمل می‌کند. چن و دونگ (Chen ، Doong) [44] مطالعات مشابهی با استفاده از روش گلرکین انجام دادند و ارتعاشات با دامنه بزرگ برای یک ورق مستطیلی ضخیم با شرایط مرزی ساده تحت تنش ناشی از کشش و خمش خالص را مورد مطالعه قرار دادند (Doong) [45] با استفاده از تئوری مرتبه بالای تغییر شکل برشی ، ارتعاشات و ایستایی ورق مستطیلی ضخیم را مورد مطالعه قرار داد. که در آن تنش اولیه ورق می‌تواند ناشی از تنش محوری یا تنش خمشی باشد.

راک و هینتون (Hinton ، Rock) [46] المان خمشی ورق مربعی ایزومتریک را معرفی کرده و با استفاده از آن ارتعاشات آزاد ورق مستطیلی را آنالیز کردند ، در این مطالعات تئوری میندلین مورد استفاده قرار گرفت.

بنسون و هینتون (Hinton ، Benson) [47] با روش finite strip استاتیک ، ارتعاشات و ایستادگی ورق میندلین را آنالیز کردند و مدل نوار راست و مدل نوار منحنی را مورد توجه قرار دادند و فرکانس‌های طبیعی برای ورق مربعی با شرایط مرزی چهار طرف ساده و شرایط مرزی سه طرف ساده و یک طرف گیردار را بدست آوردند.

ماگراب (Magrab) [48] با استفاده از روش گلرکین ، ارتعاشات آزاد ورق مستطیلی اورتروپیک را مطالعه نمود. تئوری میندیلین را استفاده کرد و فرکانس‌های اصلی برای ورق چهار طرف ساده یا ورق چهار طرف گیردار و همچنین لبه‌ها روی پایه الاستیک ، ارائه شد.

دیو (Dawe) [49] با استفاده از روش finite strip ارتعاشات ورق میندیلین را مورد مطالعه قرار داد. ورق میندیلین مربعی با انواع شرایط مرزی مد نظر بود. همچنین اثر اندازه فاکتور برشی مورد بررسی قرار گرفت. دیو و رافائل (Dawe ، Roufaeil) [50] از روش حل یکسانی استفاده کردند و ارتعاش ورق مستطیلی میندیلین را مطالعه کردند.

دیو و رافائل (Dawe ، Roufaeil) [51] با استفاده از روش ریلی ریتز ارتعاش آزاد ورق میندیلین را مطالعه کردند. در مدلشان برای توابع شکل مجاز از توابع تیر تیموشنکر برای میدان جابه‌جایی استفاده کردند و ورق مربعی با پنج شرط مرزی مختلف مثال زده شد. آنها [52] مطالعات قبلی را برای ارتعاش ورق میندیلین مستطیلی تحت کشش در صفحه بسط دادند.

اکسو و الکابی (Aksu ، Al-Kaabi) [53] با استفاده از روش اختلاف جزئی ، ارتعاشات آزاد یک ورق میندیلین با ضخامت متغیر خطی را مطالعه کردند. فرکانس ارتعاشی برای ورق مربعی ضخامت متغیر با شرایط مرزی چهار طرف ساده یا شرایط مرزی دو ضلع روبروی هم ساده و دو ضلع دیگر گیردار بدست آورده شد. آنها مجدداً [54] برای ورق مربعی با ضخامتی که بطور خطی از دو طرف ورق تغییر میکند ، نتایجی ارائه کردند. روش یکسانی توسط اکسو [55] برای ورق میندیلین که گوشه‌های آن بصورت نقطه ای گیر شده اند ، استفاده شد.

ردی (Reddy) [56] ارتعاشات با دامنه زیاد ورق مستطیلی را با روش المان محدود مورد بررسی قرار داد. تئوری میندیلین مورد استفاده قرار گرفت. همچنین فرکانس‌های ارتعاشی برای ورق مربعی ایزوتروپیک با لایه کامپوزیتی ارائه شد.

ردی و فان (Phan, Reddy) [57] ایستایی و ارتعاشات ورق لایه ای ، اورتروپیک و ایزوتروپیک با استفاده از تئوری مرتبه بالای تغییر شکل برشی ، پیشنهاد شده بوسیله ردی [36] ، را مورد مطالعه قرار دادند. حل

دقیق برای ورق چهار طرف ساده بدست آورده شد و با حل دقیق با استفاده از تئوری سه بعدی الاستیسیته و تئوری تغییر شکل برش مرتبه اول و تئوری کلاسیک ورق مقایسه شد. آنها پی بردند که تئوری مرتبه بالا از تئوری مرتبه اول و تئوری کلاسیک دقت بیشتری در بدست آوردن فرکانس‌های طبیعی و نیروی کمانش دارد. لازم به ذکر است که در تئوری ردی هیچگونه فاکتور برشی اصلاحی لازم نیست.

دیو و کریگ (Craig ، Dawe) [58-60] ، مطالعاتی درباره آنالیز ارتعاشی ورق مستطیلی لایه‌ای متقارن و ضخیم انجام دادند آنها از تئوری میندلین استفاده کرده و از روش ریلی ریز و روش finit strip برای حل استفاده کردند همچنین فرکانس ارتعاشی برای ورق مستطیلی لایه‌ای متقارن با شرایط مرزی مختلف ارائه شد. همچنین آنها [60] اثر تنش صفحه ای را بر روی ورق مد نظر قرار دادند.

ونگ و دیو (Dawe ، Wange) [61] با استفاده از روش ریلی ریتز و توابع spiline ارتعاشات آزاد ورق مستطیلی ضخیم را آنالیز کردند. تئوری مورد استفاده تئوری میندلین بود. فرکانس‌های ارتعاشی ورق لایه‌ای ایزوتروپیک و اورتروپیک برای شرایط مرزی مختلف بدست آمد.

لیو (Liew) [62-65] رفتار ارتعاشی ورق میندلین مستطیلی ایزوتروپیک را مورد مطالعه قرار داد. روش مورد استفاده برای حل ، روش ریلی ریتز و آنالیز مورد استفاده در این تحقیقات ، تئوری میندلین بود. ورق تحت 21 حالت شرط مرزی مختلف مدنظر بوده است. [62] ارتعاش ورق مستطیلی ضخیم ، [63] ارتعاش ورق مستطیلی ضخیم با تکیه بر خط تکیه‌گاهی ، [64] ارتعاش ورق مستطیلی ضخیم با تکیه بر خطوط تکیه‌گاهی ، [65] ارتعاش ورق مستطیلی تحت تنش در صفحه میانی مدنظر بوده است. لیو [66] رفتار ارتعاشی ورقی را که در وسط آن سختی اضافه شده ، مورد توجه قرار داد و اثر تنش ناشی از سختی اضافه شده در وسط ، بر فرکانس ارتعاشی مد نظر قرار داد.

ونگ (Wang) [67] روابط دقیق بین فرکانس ارتعاشی را ، از تئوری ورق کیرشهف و تئوری ورق میندلین برای شرایط مرزی چهار طرف ساده استخراج کرد و این روابط را برای مشخص کردن فرکانس‌های ارتعاشی ورق ضخیم با شرایط مرزی ساده و دیگر اشکال (دایره‌ای ، مثلثی) با استفاده از دانش ورق نازک بکار